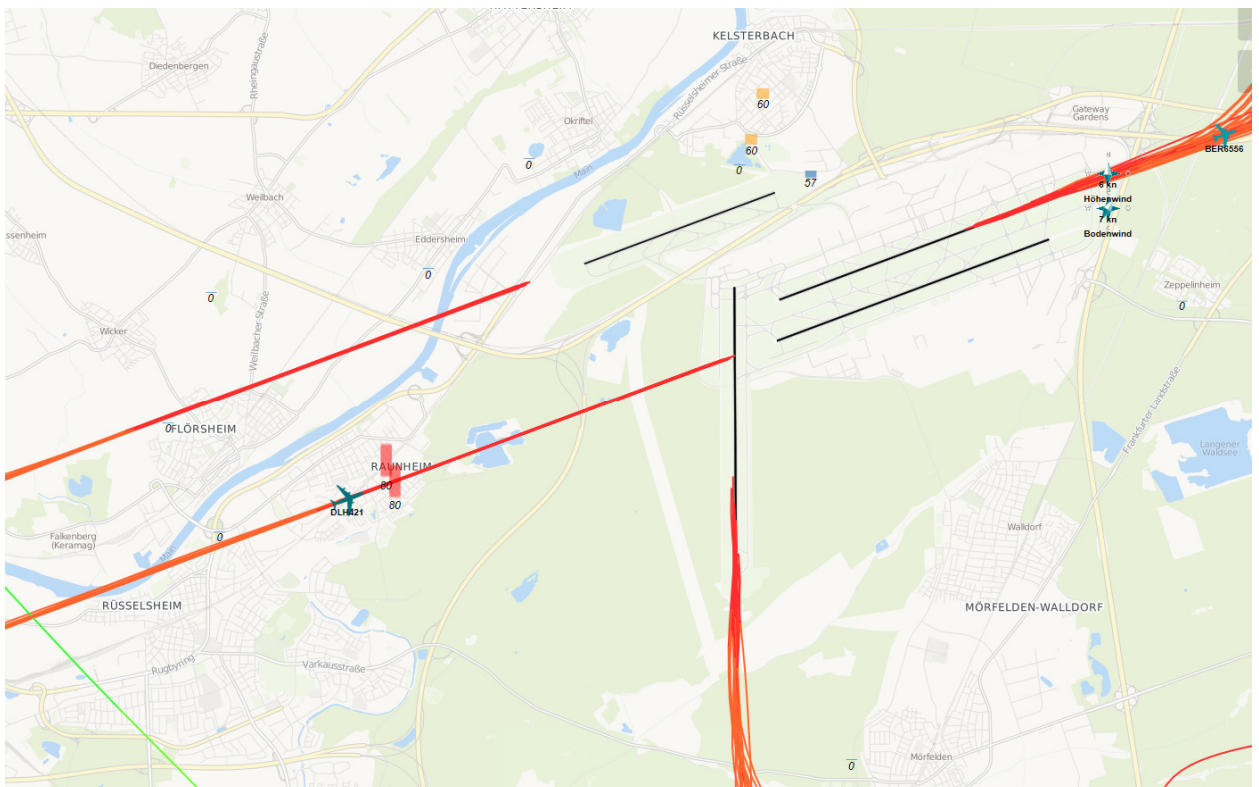


Auswertung der Überflüge sowie der Fluggeräuschmessdaten des MP-111 in Raunheim

Berichtszeitraum: Januar 2016 – März 2016 | Stand 28.06.2016



Inhalt

1	Einführung	4
1.1	Messsystem deBAKOM	4
1.2	Erläuterung der verschiedenen Pegel (Abkürzungen)	4
1.3	Standort der Messstation	5
2	Überflughöhen	7
2.1	Auswertungsmethode und Erfassungsrate	7
2.2	Bahnnutzung bzgl. Landungen	10
2.3	Ausfallzeiten	10
2.4	Anflughöhen bei Betriebsrichtung 07	10
2.5	Abflughöhen bei Betriebsrichtung 25 – Südumfliegung	12
2.6	Abflughöhen bei Betriebsrichtung 25 – Nordwest-Abflugstrecken	13
3	Fluggeräuschereignisse	15
4	Fluggeräuschpegel	16
4.1	Maximalpegelverteilung	16
4.2	Leq- und NAT-Auswertung	18
4.3	Jahresübersicht 2016	21

Anlagen

Anlage 1: Geräuschklassifikation der Firma deBAKOM

Abbildungsverzeichnis

Abb. 1: Standort der Messstation MP-111 (Quelle: Google Maps)	5
Abb. 2: BR07 - Identifizierte Anflüge im März 2016, Vorderansicht (Quelle: Bing Maps).....	7
Abb. 3: BR07 - Identifizierte Anflüge im März 2016, Draufsicht (Quelle: Bing Maps).....	8
Abb. 4: BR25 Südumfliegung - Identifizierte Abflüge im März 2016, Vorderansicht (Quelle: Bing Maps) .	8
Abb. 5: BR25 Südumfliegung - Identifizierte Abflüge im März 2016, Draufsicht (Quelle: Bing Maps).....	9
Abb. 6: BR25 Nordwest-Abflugstrecken - Identifizierte Abflüge im März 2016, Vorderansicht (Quelle: Bing Maps).....	9
Abb. 7: BR25 Nordwest-Abflugstrecken - Identifizierte Abflüge im März 2016, Draufsicht (Quelle: Bing Maps).....	10
Abb. 8: Boxplots - Anflughöhen bei Betriebsrichtung 07	11
Abb. 9: Boxplots - Abflughöhen bei Betriebsrichtung 25 – Südumfliegung	12
Abb. 10: Boxplots - Abflughöhen bei Betriebsrichtung 25 – Nordwest-Abflugstrecken	13
Abb. 11: Anzahl Fluggeräuscheignisse (Tag und Nacht)	15
Abb. 12: Maximalpegelverteilung am Tag (Fluggeräusch).....	16
Abb. 13: Maximalpegelverteilung in der Nacht (Fluggeräusch)	17
Abb. 14: L_{DIN} Tag und Nacht	18
Abb. 15: NAT68 und NAT72	19
Abb. 16: L_{eq} Tag und Nacht	19
Abb. 17: L_{95} Tag und Nacht	20

1 Einführung

1.1 Messsystem deBAKOM

Wesentliche Komponenten des Messsystems sind eine wetterfeste und beheizte Mikrofoneinheit (Klasse 1 Mikrofon) mit Windschirm, eine Wetterstation sowie ein Messrechner. Bei Windgeschwindigkeiten im Mittel > 5 m/s werden alle Geräusche ausgeblendet, um die Erfassung von Störgeräuschen zu verhindern. Die Daten werden im Messrechner erfasst und stündlich an das Umwelt- und Nachbarschaftshaus (UNH) übertragen.

Für die Geräuschauswertung wird eine spezielle Software eingesetzt, die eine 2-stufige Erkennung durchführt: 1. Stufe ist die Erkennung auf Grund physikalischer Parameter nach DIN 45643 (Messung und Beurteilung von Fluggeräuschen) d.h. der Schallpegel eines Fluggeräuschereignisses muss z.B. einen Messschwellenpegel um mindestens einen bestimmten Betrag übersteigen; 2. Stufe ist eine detaillierte Erkennung anhand einer Korrelationsanalyse mit Musterspektren (s. Anlage). Diese werden mit Hilfe von Audioaufzeichnungen aus für den Messort typischen Fluggeräuschereignissen erstellt. Als 3. Stufe werden die erkannten Fluggeräuschereignisse mit den FANOMOS-Daten (Radarspuren) der Deutschen Flugsicherung (DFS) korreliert. Falls diese Prüfkriterien alle zueinander passen, wird das Ereignis als Fluggeräuschereignis deklariert und fließt in die Fluggeräuschauswertung ein.

1.2 Erläuterung der verschiedenen Pegel (Abkürzungen)

$L_{DIN,T}$ = Fluggeräusch L_{eq} (nach DIN 45643 vom Februar 2011) (Tag 06:00 - 22:00 Uhr).

$L_{DIN,N}$ = Fluggeräusch L_{eq} (nach DIN 45643 vom Februar 2011) (Nacht 22:00 - 06:00 Uhr).

$L_{eq,T}$ = L_{eq} aller Geräusche (Tag 06:00 - 22:00 Uhr).

$L_{eq,N}$ = L_{eq} aller Geräusche (Nacht 22:00 - 06:00 Uhr).

$L_{95,T}$ = L_{eq} aller Geräusche der zu 95% der Beurteilungszeit überschritten ist (Tag 06:00 - 22:00 Uhr).

$L_{95,N}$ = L_{eq} aller Geräusche der zu 95% der Beurteilungszeit überschritten ist (Nacht 22:00 - 06:00 Uhr).

NAT68 = Anzahl der Fluggeräuschereignisse die 68 dB(A) überschreiten (Nacht 22:00 - 06:00 Uhr).

NAT72 = Anzahl der Fluggeräuschereignisse die 72 dB(A) überschreiten (Nacht 22:00 - 06:00 Uhr).

1.3 Standort der Messstation

Die Messstation auf dem Grundstück der Stadtwerke Raunheim wurde am 8. August 2011 in Betrieb genommen. Die Koordinaten des Standortes (MP-111) lauten: 32 U 461590; 5539789 [UTM]. Die Messhöhe des Mikrofons beträgt 4 m über dem Dach des Hauses (ca. 10 m ü. Grund).

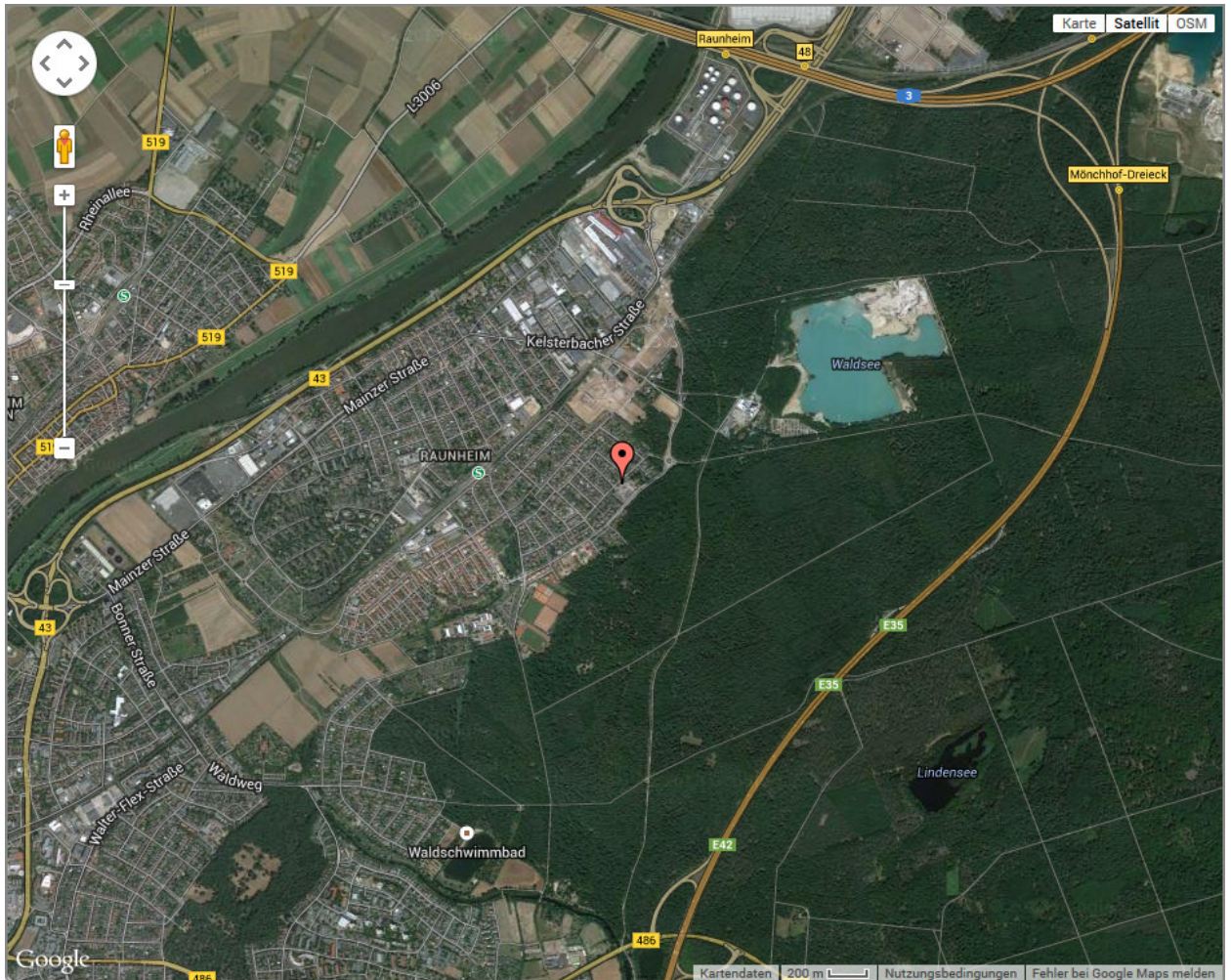


Abb. 1: Standort der Messstation MP-111 (Quelle: Google Maps)

Diese Auswertung umfasst Daten vom 01.01.2016 bis zum 31.03.2016.

Auswertung der Überflüge über Raunheim



2 Überflughöhen

2.1 Auswertungsmethode und Erfassungsrate

Die Auswertebereiche für die Überflüge über dem MP-111 haben folgende Ausdehnungsmaße:

- **Anflüge (BR07):** Breite jeweils 926 m (0,5 NM) links und rechts der Station; die Auswertungshöhe beträgt maximal 4500 m über NN (MSL), die Ausrichtung des Tores beträgt 70°.
- **Abflüge (BR25) Südumfliegung (SU):** 2778 m (1,5 NM) links und 1 m rechts der Station; die Auswertungshöhe beträgt maximal 4500 m über NN (MSL), die Ausrichtung des Tores beträgt 190°.
- **Abflüge (BR25) Nordwest-Abflugstrecken (NW):** 2778 m (1,5 NM) rechts und 1 m links der Station; die Auswertungshöhe beträgt maximal 4500 m über NN (MSL), die Ausrichtung des Tores beträgt 275°.

	Anzahl der Flüge durch die o.g. Tore	Anzahl der identifizierten Fluggeräuschereignisse	Prozentualer Anteil der identifizierten Fluggeräuschereignisse
Anflüge (BR07)	7271	6320	86,92%
Abflüge (BR25) SU	10846	7488	69,04%
Abflüge (BR25) NW	2929	1497	51,11%

Zur Übersicht werden die Abbildungen der „Durchflugtore“ des Monats März 2016 für BR07 und BR25 dargestellt. Es sind nur Flüge bis 13500 ft enthalten und die die o.g. Prüfkriterien 1 bis 3 erfüllt haben. Flüge die zu diesem Zeitpunkt höher als 13500 ft über dem Standort waren, sind in den FANOMOS-Daten, die das UNH erhält, nicht enthalten.

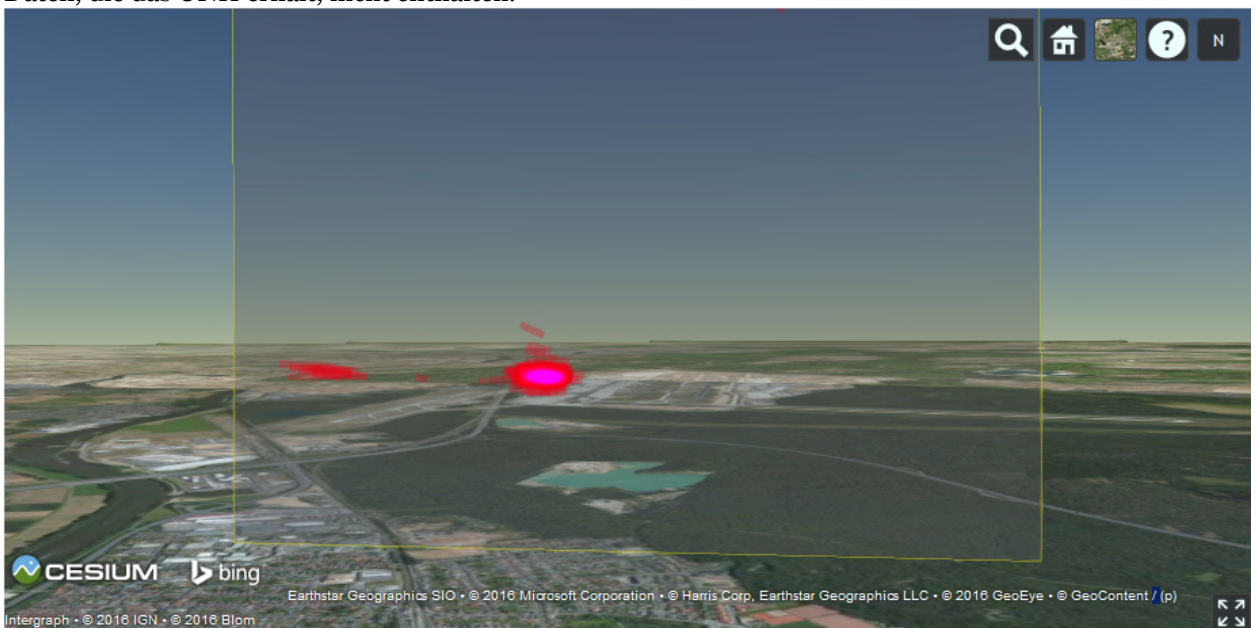


Abb. 2: BR07 - Identifizierte Anflüge im März 2016, Vorderansicht (Quelle: Bing Maps)



Abb. 3: BR07 - Identifizierte Anflüge im März 2016, Draufsicht (Quelle: Bing Maps)

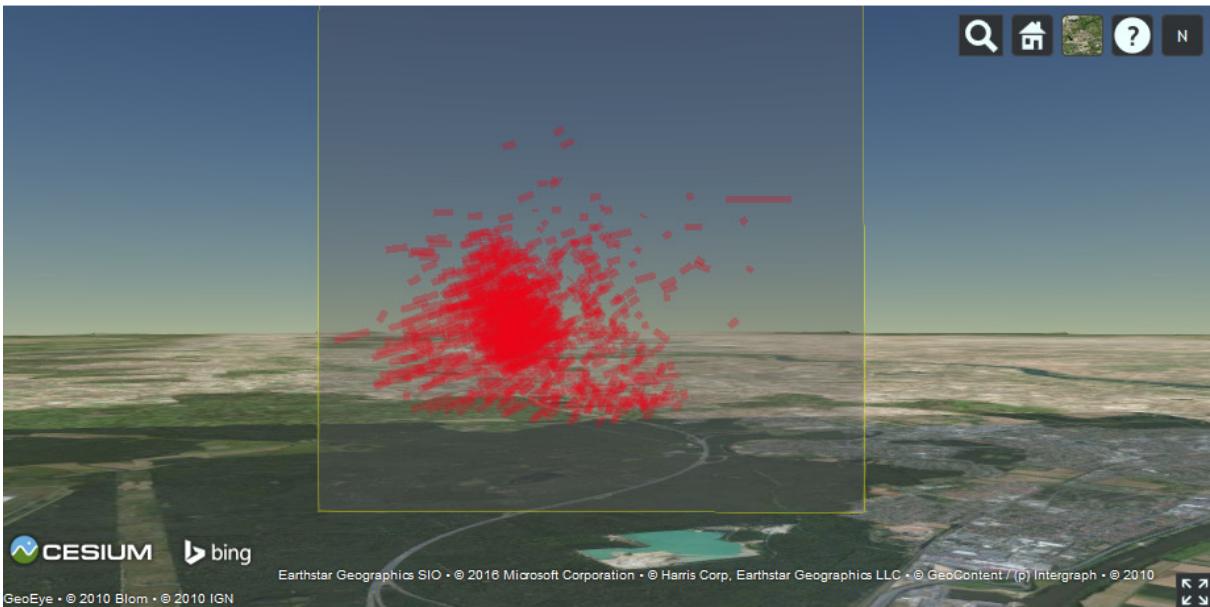


Abb. 4: BR25 Südumfliegung - Identifizierte Abflüge im März 2016, Vorderansicht (Quelle: Bing Maps)

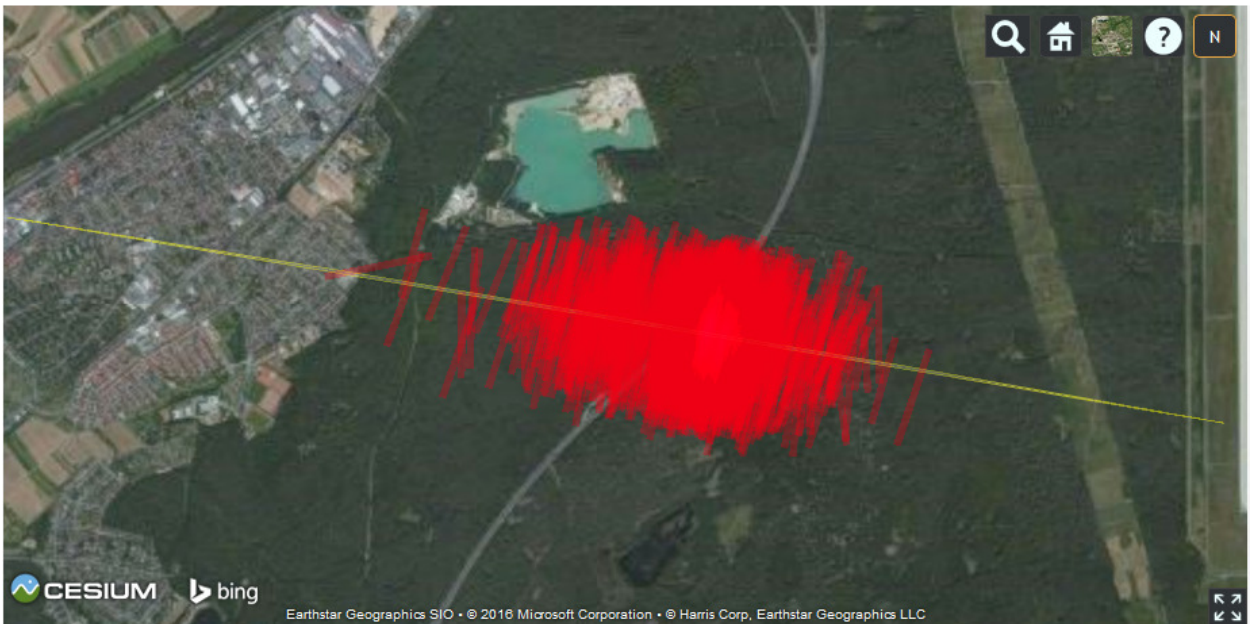


Abb. 5: BR25 Südumfliegung - Identifizierte Abflüge im März 2016, Draufsicht (Quelle: Bing Maps)

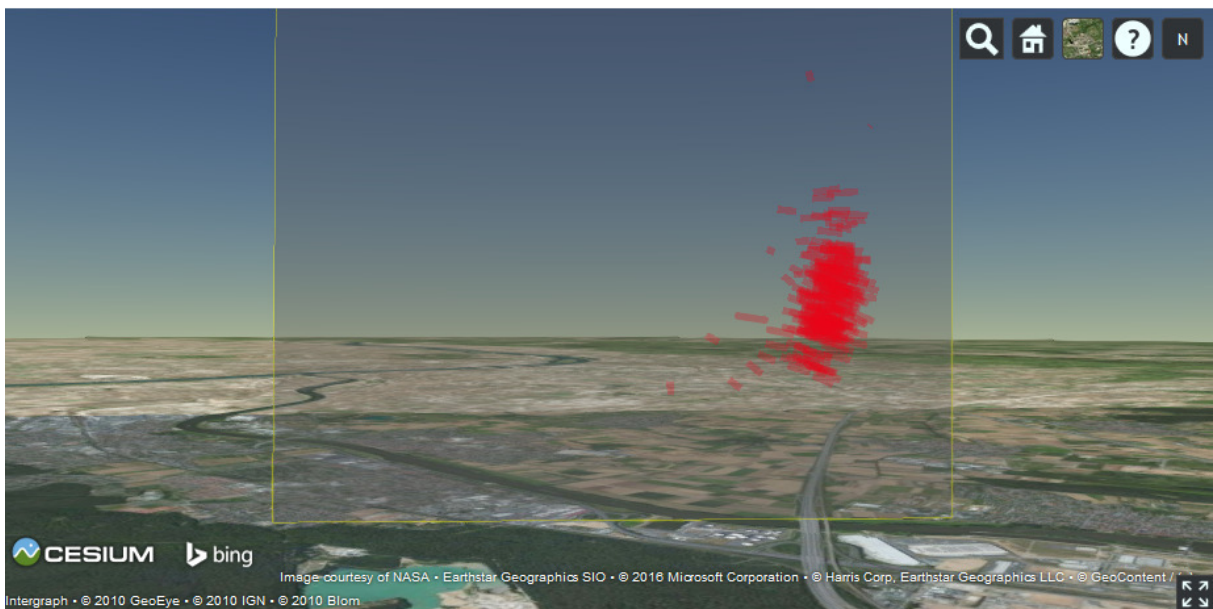


Abb. 6: BR25 Nordwest-Abflugstrecken - Identifizierte Abflüge im März 2016, Vorderansicht (Quelle: Bing Maps)



Abb. 7: BR25 Nordwest-Abflugstrecken - Identifizierte Abflüge im März 2016, Draufsicht (Quelle: Bing Maps)

2.2 Bahnnutzung bzgl. Landungen

Bahnnutzung in [%]	Betriebsrichtung 25			Betriebsrichtung 07			Monatlicher Durchschnitt	
	RWY 25R	RWY 25C	RWY 25L	RWY 07L	RWY 07C	RWY 07R	BR25	BR07
Januar	34,10%	11,81%	36,07%	8,71%	0,04%	9,27%	81,98%	18,02%
Februar	31,50%	12,23%	31,64%	11,66%	0,08%	12,90%	75,36%	24,64%
März	26,36%	10,35%	26,32%	18,28%	0,08%	18,61%	63,03%	36,97%

2.3 Ausfallzeiten

Beginn	Ende	Ausfallzeit in Std.	Ausfallgrund
28.01.2016 12:00	28.01.2016 12:59	1 h	Wartungsarbeiten
29.01.2016 12:00	29.01.2016 12:59	1 h	Wartungsarbeiten

2.4 Anflughöhen bei Betriebsrichtung 07

Bei den Auswertungen der An- und Abflughöhen wurden nur Flüge betrachtet, die durch die o.a. „Durchflugtore“ geflogen sind, die o.g. Prüfkriterien 1 bis 3 erfüllt haben und am Frankfurter Flughafen (EDDF) gestartet oder gelandet sind.

Höhe (MSL) in [ft] bei BR07	Januar	Februar	März
Mittelwert	1362	1346	1333
Standardfehler des Mittelwerts	1	1	1
95% Konfidenzintervall des Mittelwerts	Untergrenze	1361	1344
	Obergrenze	1364	1347
5% getrimmtes Mittel	1361	1345	1332
Median	1360	1345	1331
Varianz	928	783	803
Standardabweichung	30	28	28
Minimum	1266	1241	1210
Maximum	1608	1555	1660
Spannweite	342	314	450
Interquartilbereich	36	35	34
Schiefe	1	0	1
Kurtosis	5	3	13
Anzahl Ereignisse:	1454	1834	3032

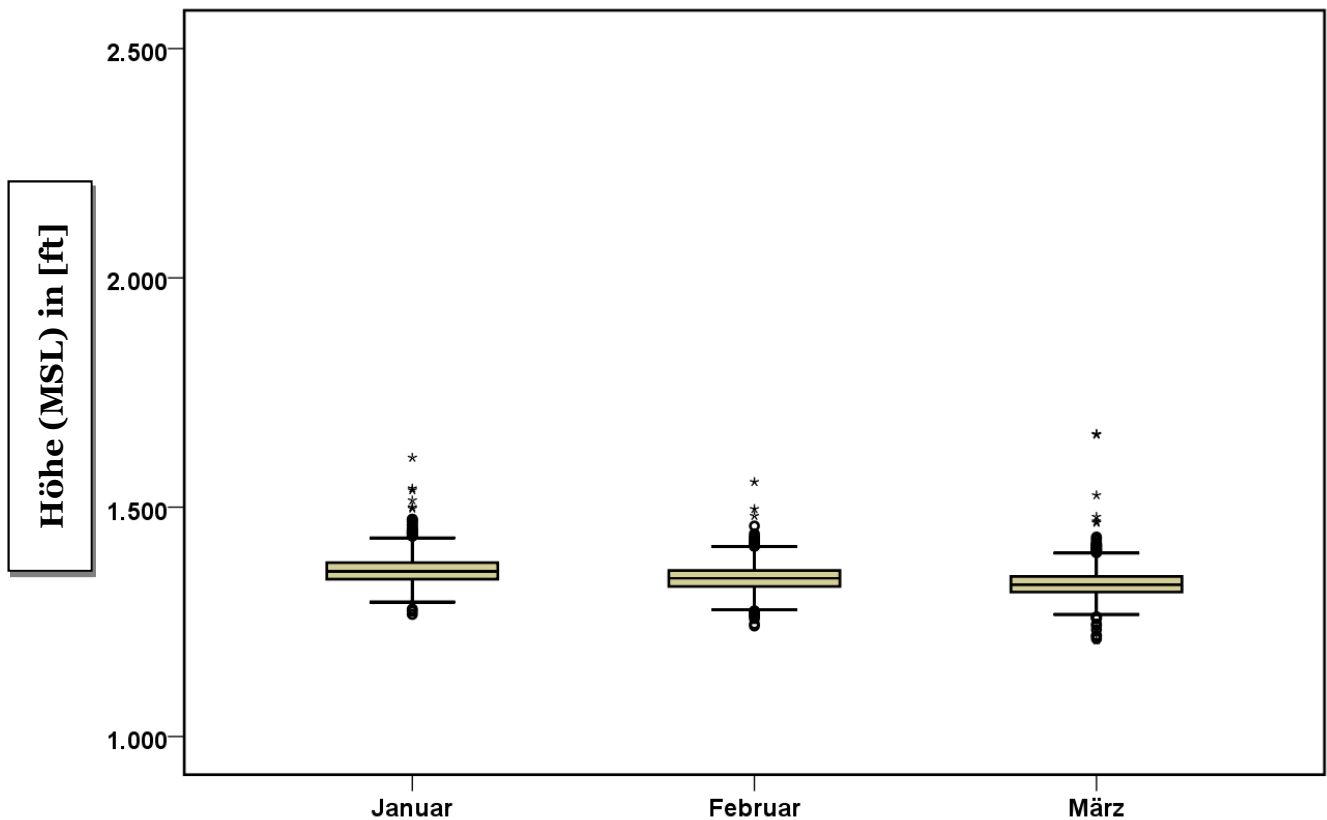


Abb. 8: Boxplots - Anflughöhen bei Betriebsrichtung 07

2.5 Abflughöhen bei Betriebsrichtung 25 – Südumfliegung

Höhe (MSL) in [ft] bei BR25	Januar	Februar	März
Mittelwert	3187	3272	3042
Standardfehler des Mittelwerts	14	16	14
95% Konfidenzintervall des Mittelwerts	Untergrenze	3159	3240
	Obergrenze	3215	3303
5% getrimmtes Mittel	3177	3265	3031
Median	3204	3299	3048
Varianz	557764	557332	494523
Standardabweichung	747	747	703
Minimum	1526	1241	1475
Maximum	6619	6229	6966
Spannweite	5093	4988	5491
Interquartilbereich	927	923	845
Schiefe	0	0	0
Kurtosis	0	0	1
Anzahl Ereignisse:	2792	2185	2511

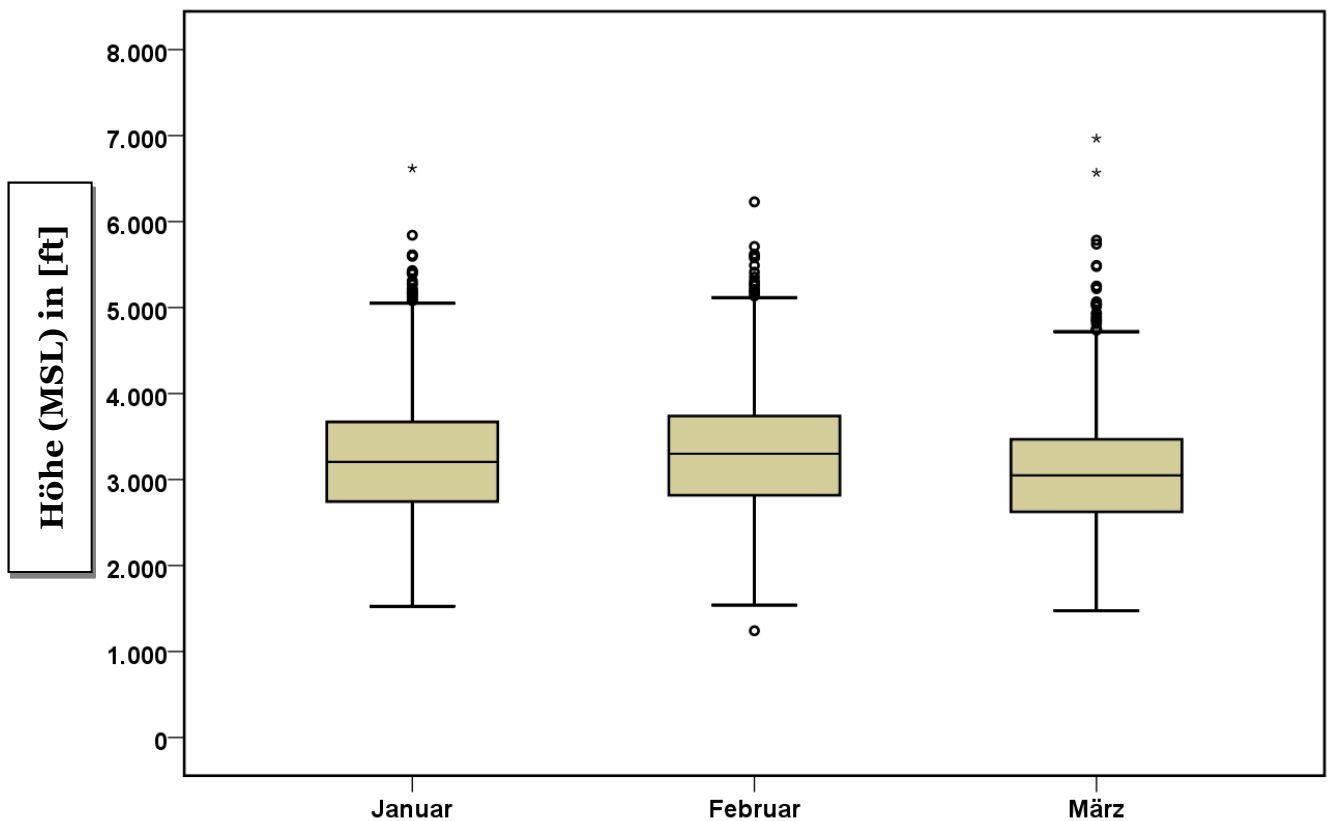


Abb. 9: Boxplots - Abflughöhen bei Betriebsrichtung 25 – Südumfliegung

2.6 Abflughöhen bei Betriebsrichtung 25 – Nordwest-Abflugstrecken

Höhe (MSL) in [ft] bei BR25	Januar	Februar	März
Mittelwert	3071	3099	2887
Standardfehler des Mittelwerts	25	27	23
95% Konfidenzintervall des Mittelwerts	Untergrenze	3021	3046
	Obergrenze	3120	3153
5% getrimmtes Mittel	3055	3082	2880
Median	3052	3094	2866
Varianz	367217	352839	231528
Standardabweichung	606	594	481
Minimum	1710	1713	1787
Maximum	6516	5514	4473
Spannweite	4806	3801	2686
Interquartilbereich	820	816	688
Schiefe	1	0	0
Kurtosis	1	1	0
Anzahl Ereignisse:	577	472	448

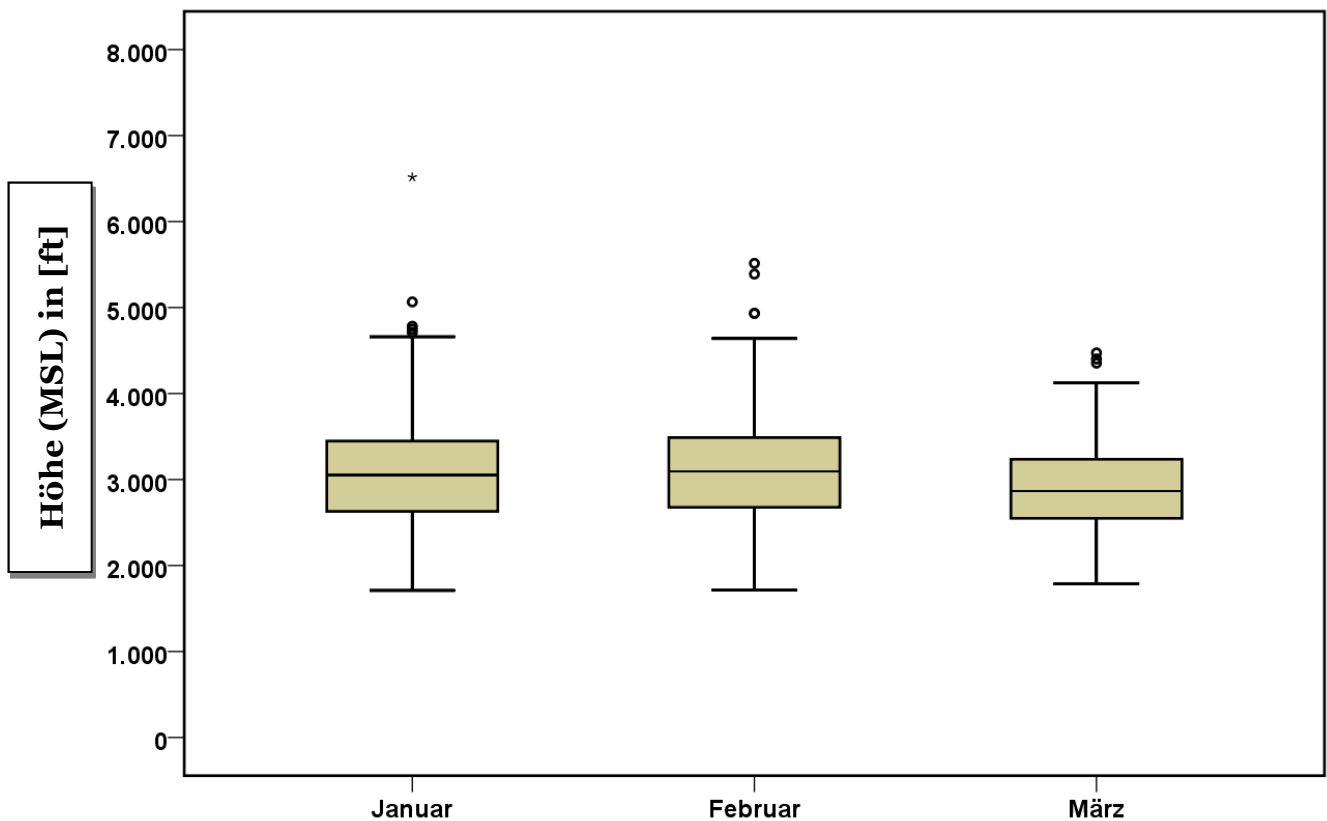


Abb. 10: Boxplots - Abflughöhen bei Betriebsrichtung 25 – Nordwest-Abflugstrecken

Auswertung der Fluggeräuschmessstation (MP-111)



3 Fluggeräuschereignisse

„Ereignisse“ sind die von der Software der Station als Fluggeräuschereignis erkannten Pegel. Die Erkennung der Ereignisse basiert in Schritt 1 auf den Kriterien der DIN 45643, in Schritt 2 auf der Geräuschklassifikation der Firma deBAKOM (s. Anhang) und in Schritt 3 auf eine Korrelation mit den FANOMOS-Daten der DFS.

Die Tabelle zeigt die registrierten Fluggeräuschereignisse (Fluglärmereignisse) an der Station sowie die Anzahl der identifizierten Überflüge über die Station. Überflüge, die von der Station nicht als Ereignisse erkannt werden, sind in dieser Auswertung nicht enthalten.

	Anzahl der Ereignisse		Anzahl gesamt
	Tag 06:00 - 22:00 Uhr	Nacht 22:00 - 06:00 Uhr	BR07 & BR25
Januar	4499	324	4823
Februar	4190	301	4491
März	5551	440	5991

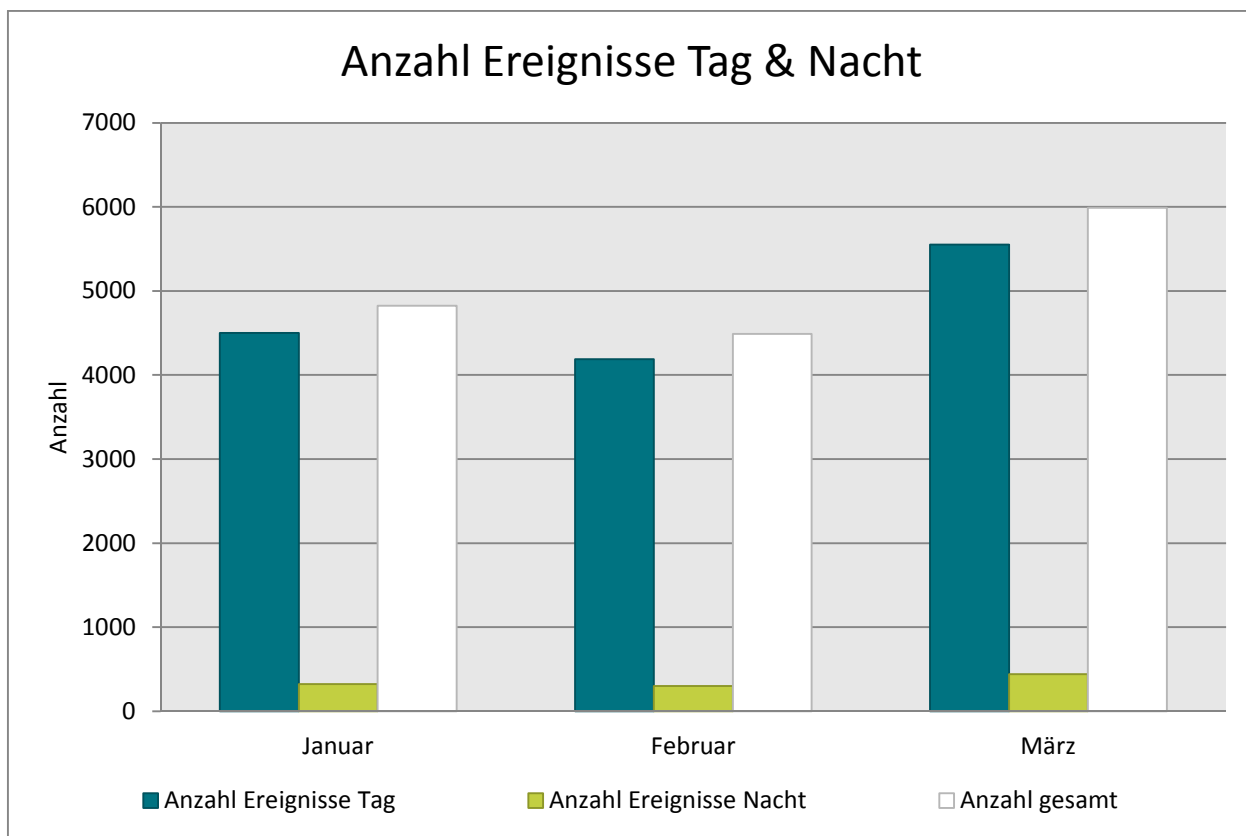


Abb. 11: Anzahl Fluggeräuschereignisse (Tag und Nacht)

4 Fluggeräuschpegel

4.1 Maximalpegelverteilung

Maximalpegelverteilung am Tag (06:00 bis 22:00 Uhr)

	55 - 60 dB(A)	60 - 65 dB(A)	65 - 70 dB(A)	70 - 75 dB(A)	75 - 80 dB(A)	80 - 85 dB(A)	85 - 90 dB(A)
Januar	50	1096	1650	859	702	142	0
Februar	35	821	1383	783	985	180	3
März	31	743	1604	1177	1625	356	15

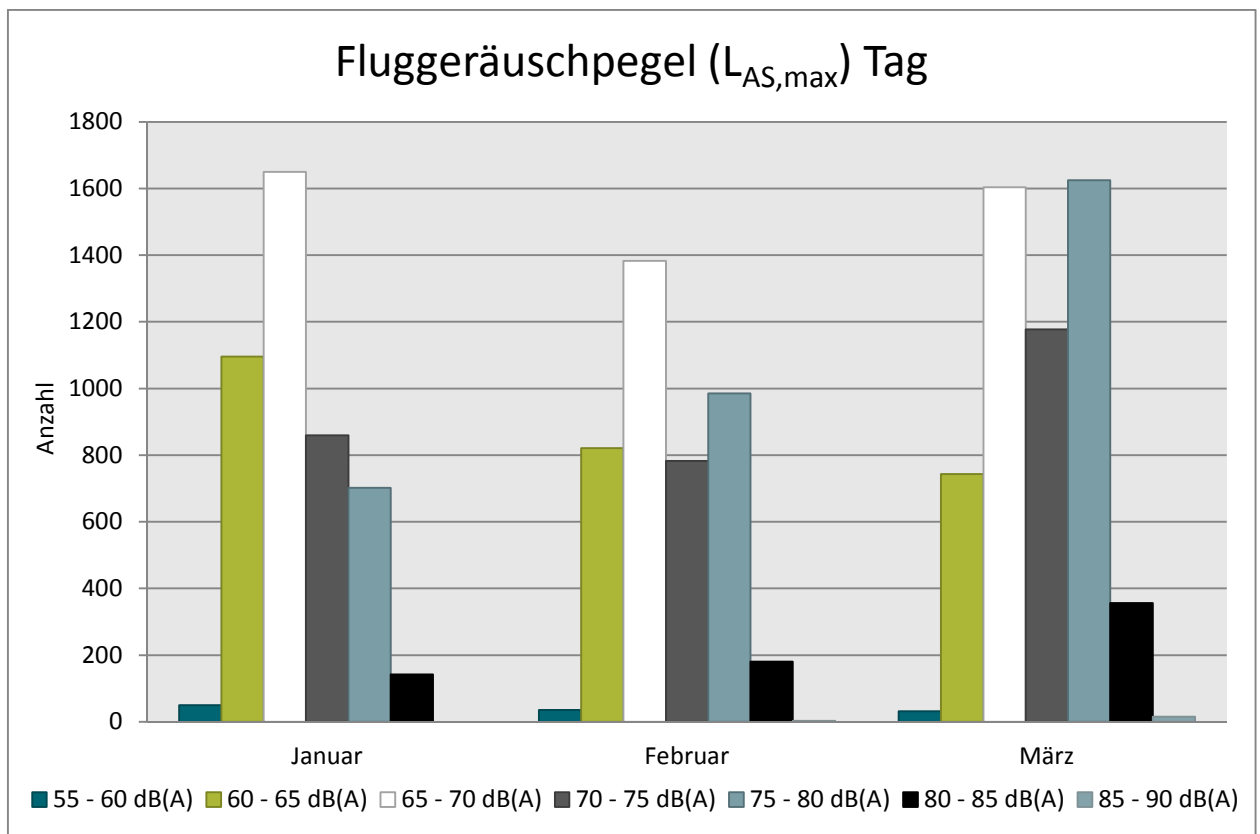


Abb. 12: Maximalpegelverteilung am Tag (Fluggeräusch)

Maximalpegelverteilung in der Nacht (22:00 bis 06:00 Uhr)

	55 - 60 dB(A)	60 - 65 dB(A)	65 - 70 dB(A)	70 - 75 dB(A)	75 - 80 dB(A)	80 - 85 dB(A)	85 - 90 dB(A)
Januar	6	79	106	29	79	25	0
Februar	3	75	75	25	94	29	0
März	4	81	105	40	150	56	4

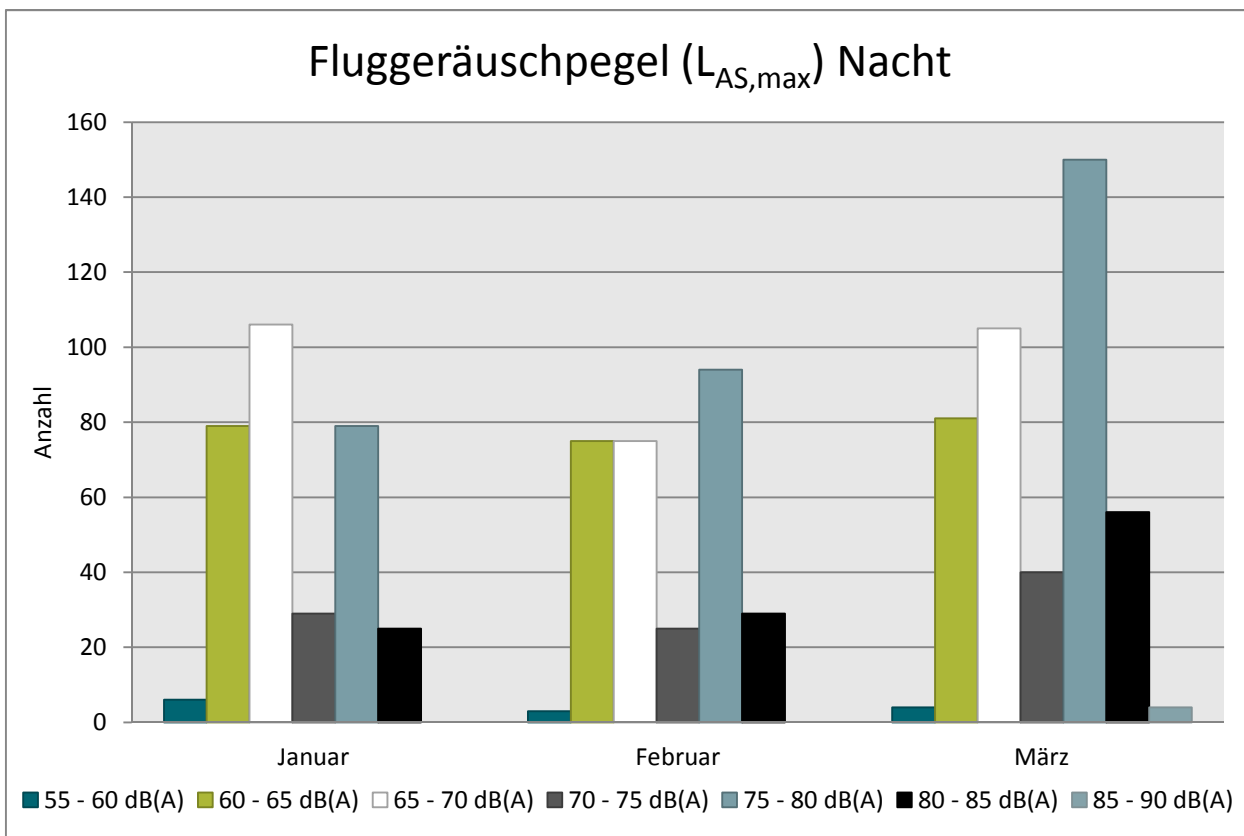


Abb. 13: Maximalpegelverteilung in der Nacht (Fluggeräusch)

4.2 Leq- und NAT-Auswertung

in dB(A)	$L_{DIN,T}$	$L_{DIN,N}$	NAT68	NAT72	$L_{eq,T}$	$L_{eq,N}$	$L_{95,T}$	$L_{95,N}$
Januar	57,1	50,3	160	120	59,1	60,7	45,8	40,8
Februar	58,0	51,1	167	137	60,6	53,0	46,5	41,4
März	59,9	53,6	273	231	61,6	54,7	46,3	41,8

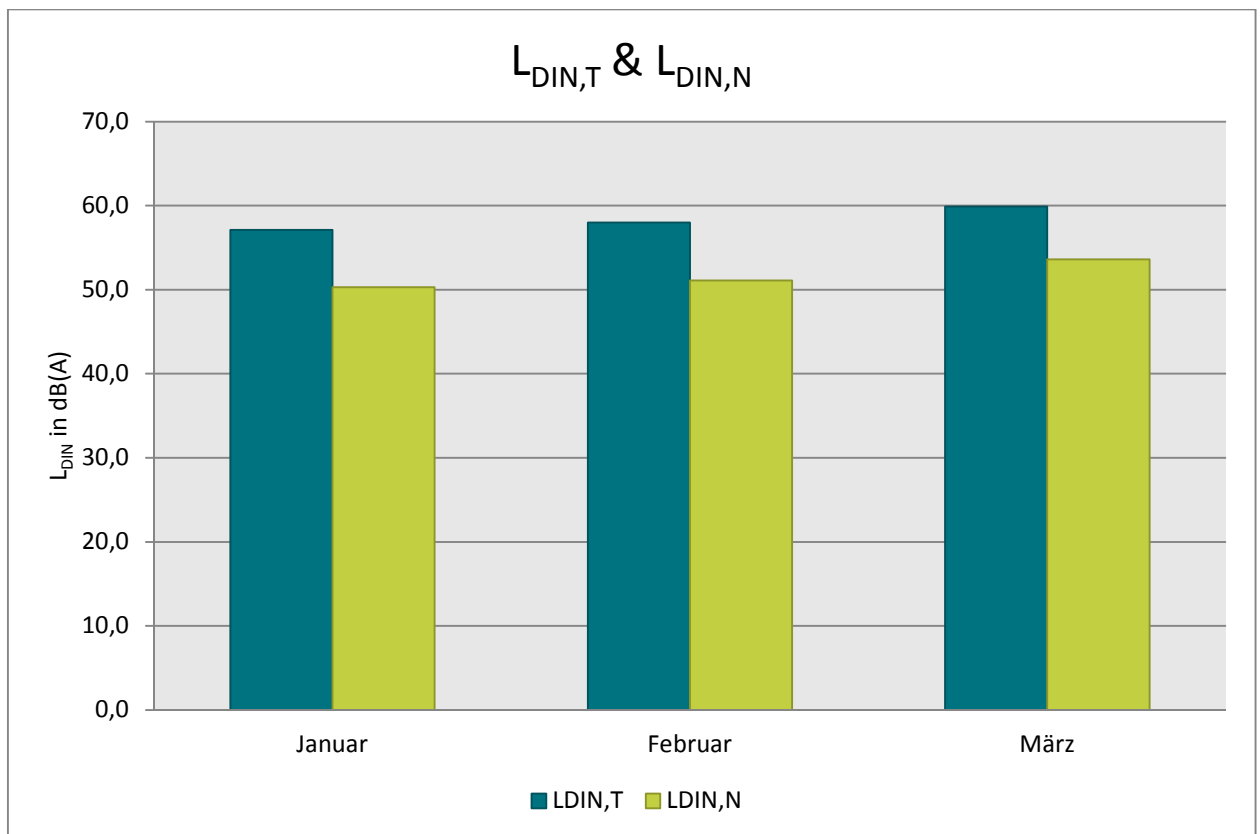


Abb. 14: L_{DIN} Tag und Nacht

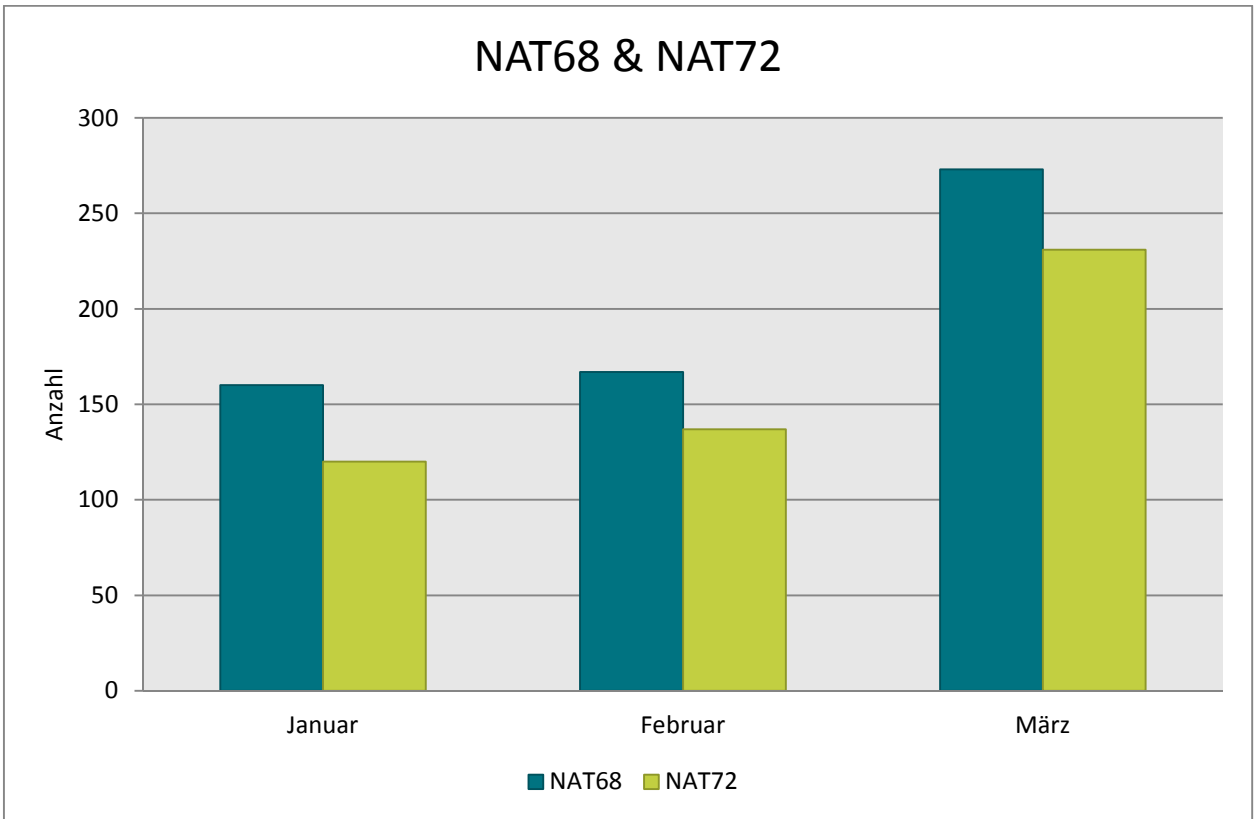


Abb. 15: NAT68 und NAT72

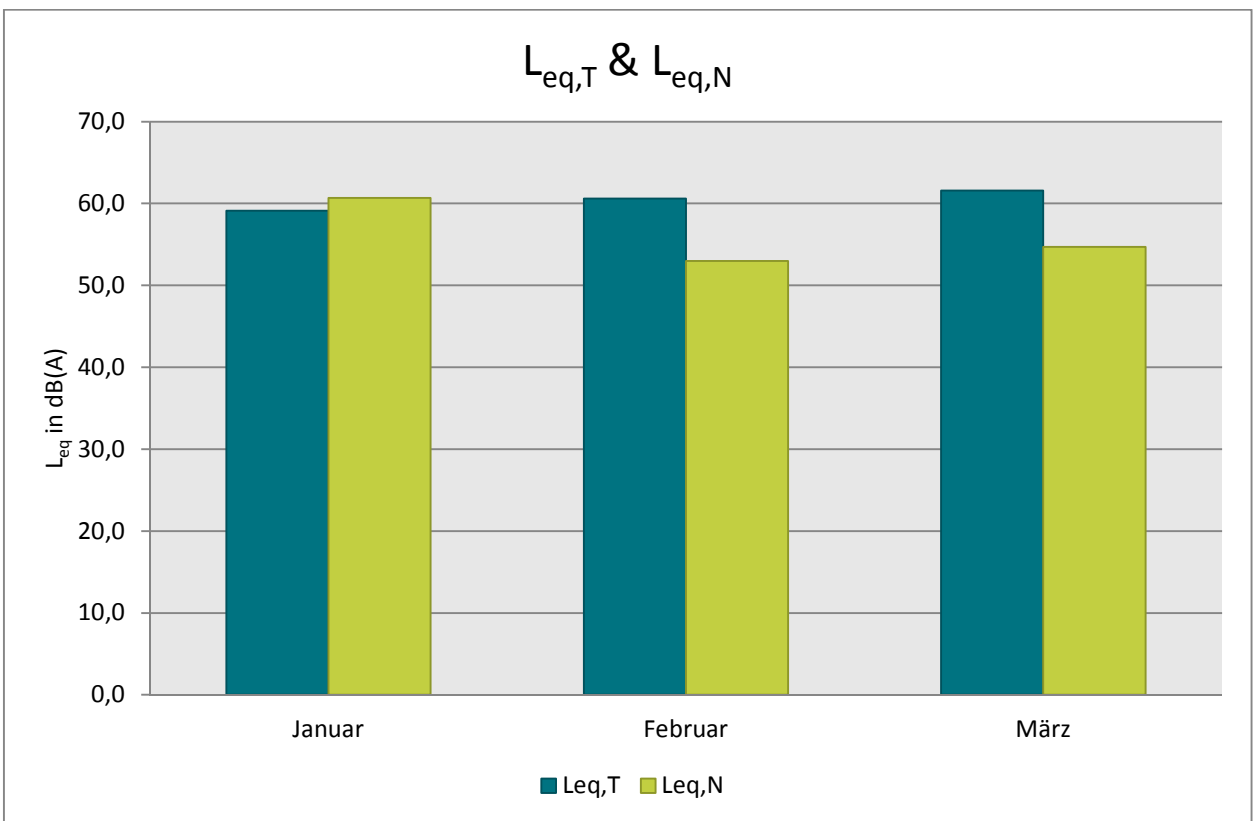


Abb. 16: L_{eq} Tag und Nacht



Abb. 17: L_{95} Tag und Nacht

4.3 Jahresübersicht 2016

in dB(A)	L _{DIN,T}	L _{DIN,N}	NAT68*	NAT72*	L _{eq,T}	L _{eq,N}	L _{95,T}	L _{95,N}
Januar	57,1	50,3	160	120	59,1	60,7	45,8	40,8
Februar	58,0	51,1	167	137	60,6	53,0	46,5	41,4
März	59,9	53,6	273	231	61,6	54,7	46,3	41,8
April								
Mai								
Juni								
Juli								
August								
September								
Oktober								
November								
Dezember								

* Hierbei handelt es sich um einen gemessenen Wert, der nicht nach Fluglärmschutzgesetz zur Definition von Fluglärmschutzzonen heranzuziehen ist.

Herausgeber Forum Flughafen & Region | Gemeinnützige Umwelthaus GmbH
Rüsselsheimer Str. 100 | 65451 Kelsterbach | www.umwelthaus.org

Fluglärmmessung mit automatischer Geräuschklassifikation

D.Hemmer¹, D. Knauß², C. Pörschmann¹

¹ Fachhochschule Köln, 50679 Köln - e-mail: dominic.hemmer@fh-koeln.de

² deBAKOM GmbH, 51519 Odenthal

Einleitung

Bei der Messung von Flugzeuggeräuschen ist mit einer Beeinflussung des Fluglärmpegels durch verschiedene Fremdgeräusche zu rechnen. Zur Trennung dieser Ereignisse gibt es unter anderem die Möglichkeit der Klassifizierung durch Mustererkennung oder Korrelationsanalyse, die eine getrennte Betrachtung der auftretenden Schallereignisse ermöglicht. In der hier vorgestellten Untersuchung geht es in erster Linie um die Auswirkung verschiedener Erkennungsmethoden auf den Mittelungspegel und weniger um die Fehlerraten bei der Erkennung der Anzahl an Flugzeugen.

Vergleich zweier Methoden

Zur Geräuschidentifikation von Flugzeugen wurde an der Fachhochschule Köln ein Algorithmus entwickelt, mit dem es möglich ist, Flugzeuggeräusche zu identifizieren (Methode 1) [1]. Im Rahmen eines gemeinsamen Forschungsprojektes kann mit der Firma deBAKOM aus Odenthal der neu entwickelte Algorithmus getestet und mit dem vorhandenen Verfahren (Methode 2) der deBAKOM verglichen werden.

Methode 1

Die verwendete Musteranalyse arbeitet mit einem Vergleich mehrerer spektraler und temporaler akustischer Eigenschaften die als Merkmale zur Identifikation von Audiosignalen dienen. Untersuchungen mit verschiedenen akustischen Merkmalen zeigten [1], dass sich einige besonders gut zur Identifikation von Flugzeuggeräuschen eignen. Folgende Merkmale wurden zur Identifikation verwendet:

- spektraler Schwerpunkt
- spektrale Wölbung und Schiefe
- Linear Predictive Coding: Schwerpunkt und Schwankung
- MFCC (Mel Frequency Cepstral Coefficients)

Die Verwendung von MFCC stellt sich als besonders günstig heraus. Werden bestimmte Koeffizienten der MFCC verwendet, so erhält man einen Merkmalsvektor, welcher eine gute Unterscheidung von Flugzeuggeräusche und anderen Geräuschklassen ermöglicht.

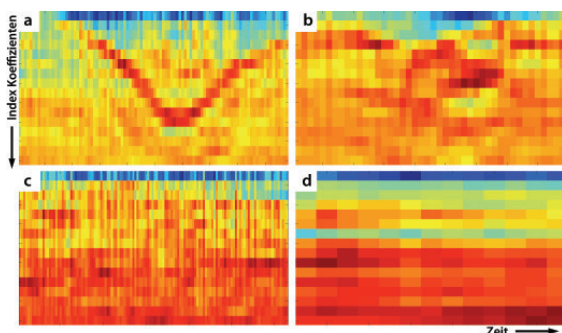


Abbildung 1: MFCC aus verschiedenen Klassen (a: Flugzeug, b: Auto, c: Zug, d: Hintergrund) – Dargestellt sind jeweils 18 Koeffizienten, aufgetragen über der Zeit.

Methode 2

Die derzeit in der Praxis eingesetzte Methode zur automatischen Erkennung von Fluglärm ist ein 3-stufiges Verfahren, das auf der spektralen Struktur und dem typischen zeitlichen Verlauf von Flugzeuggeräuschen, wie er z.B. in der DIN 45643 beschrieben ist, beruht. Die ersten beiden Stufen der Erkennung nutzen die spektrale Struktur des Fluglärms zur Identifikation. In der ersten Stufe erfolgt die Zuordnung anhand des Gesamtspektrums, während in der zweiten Stufe eine detailliertere Erkennung anhand einer Korrelationsanalyse mit Musterspektren erfolgt. Diese Musterspektren werden anhand von Audioaufzeichnungen aus für den Messort typischen Fluglärmereignissen erstellt.

Da die spektrale Struktur von Fluglärmgeräuschen stark variiert, d.h. auch vom jeweiligen Messort abhängig ist, ist eine individuelle Anpassung der Muster an den Messort erforderlich. Dies kann entweder vorab erfolgen, falls bereits Audioaufzeichnungen vorliegen, oder die Zuordnung wird nach der Messung durchgeführt. In beiden Fällen erfolgt die Erkennung mit Stufe 1, die bereits eine gute Erkennung zulässt. Die Bestimmung des Fluglärmpegels erfolgt in der Regel ereignisorientiert, d.h. Fluglärm ist auf eine kurze Zeitspanne beschränkt. Diese Tatsache wird im dritten Teil der Fluglärm-erkennung verwendet, indem aus dem Pegel-Zeitverlauf Ereignisse heraus gefiltert werden, die der typischen zeitlichen Struktur des Fluglärms am Messort entsprechen. Dies sind z.B. die Dauer des Ereignisses, die sogenannte t10-Zeit oder typische Pegelhöhen. Damit stehen für die Zuordnung zwei Kriterien zur Verfügung: Das Geräusch entspricht in seiner spektralen Struktur Fluglärm und die zeitliche Struktur entspricht den Fluglärmgeräuschen.

Beispiele aus der Praxis

Die Tabelle in Abbildung 2 zeigt ein Beispiel für die automatische Fluglärm-erkennung. Das Messsystem wurde im August 2010 in Neu-Isenburg (Flughafen Frankfurt) eingerichtet. In der Tabelle sind die Pegelwerte sowie die Anzahl von Fluglärmereignissen in einem Erfassungszeitraum von 5 Monaten mit automatischer (deBAKOM) und manueller Auswertung dargestellt. Für den Monat August wurden dabei lediglich Stufe 1 und Stufe 3 der Erkennung eingesetzt. Ab September auch Stufe 2. Wie der Tabelle zu entnehmen ist, zeigen die Pegel der beiden Auswertungen nur geringe Abweichungen. Bei der Anzahl der zugeordneten Ereignisse hingegen ergeben sich größere Diskrepanzen, die vor allem durch Ereignisse mit kleinen Pegeln nahe der Schwelle verursacht werden.

		Ld dB(A)	Ln dB(A)	Anzahl Tag	Anzahl Nacht
August 2010	deBAKOM	59,7	53,9	10617	1390
	manuell	59,2	53,2	8623	1124
	Differenz	0,5	0,7	1994	266
September 2010	deBAKOM	60	53,6	12744	1583
	manuell	59,8	53,4	11175	1504
	Differenz	0,2	0,2	1569	79
Oktober 2010	deBAKOM	60,3	55,7	11994	1710
	manuell	60,1	55,4	11012	1649
	Differenz	0,2	0,3	982	61
November 2010	deBAKOM	60,2	55,4	11635	1514
	manuell	59,9	55,2	10544	1466
	Differenz	0,3	0,2	1091	48
Dezember 2010	deBAKOM	58,8	54,4	10013	1577
	manuell	58,8	54,3	9479	1529
	Differenz	0	0,1	534	48

Abbildung 2: Vergleich der Messungen in Neu-Isenburg zwischen manueller und automatischer Auswertung. Für September wurde eine Musteranpassung vorgenommen, die dazu führte, dass die Differenz zwischen automatischer und manueller Erkennung kleiner wird.

Im folgenden Beispiel befand sich die Messanlage im Unterschied zum vorigen Szenario direkt an der Straße, so dass die Pegelaufzeichnungen eine Mischung aus Straßenverkehr und Fluglärm darstellen. In der folgenden Grafik sind für 2 Tage die anhand verschiedener Verfahren ermittelten Fluglärmpegel, so wie der errechnete Mittelungspegel gegenübergestellt.

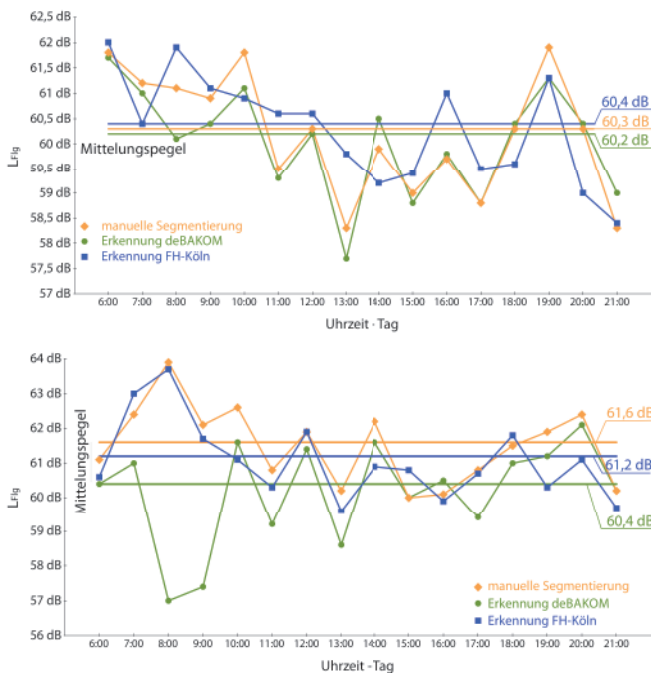


Abbildung 3: Auswertung der Messdaten. Vergleich von Methode 1, Methode 2 und manueller Auswertung. Oben: 23.10.08 (Tag ohne Regen) • Unten: 27.10.08 (Tag mit Regen). Ohne Regen ist die Abweichung der Mittelungspegel nur gering. Erhöht sich durch Regen jedoch das Hintergrundgeräusch, so wird die Erkennung schlechter und der Mittelungspegel weicht stärker ab.

Die folgenden Abbildungen zeigen den Pegel-Zeitverlauf für einen Zeitabschnitt mit wenig KFZ (5-6 Uhr) und einen Abschnitt mit deutlich mehr Fremdgeräuschen (15-16 Uhr). In Abbildung 4 (unten) ist deutlich zu erkennen, dass eine ‚einfache‘ Zuordnung der Ereignisse – Fluglärm nicht mehr möglich ist.

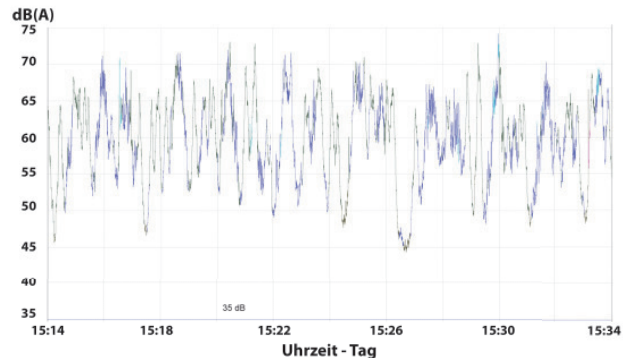
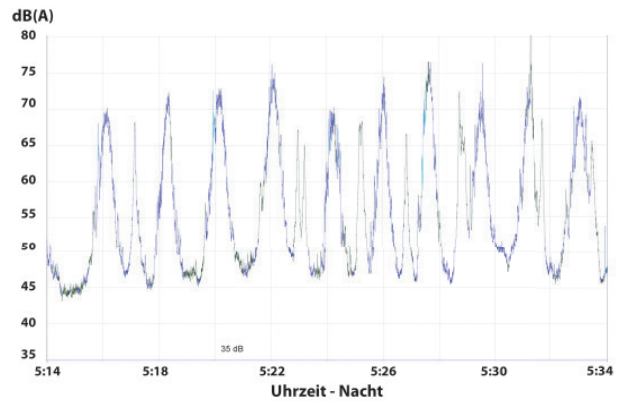


Abbildung 4: Pegelschrieb mit farblich markierter Erkennung der Klasse (blau: Flugzeug, grün: keine Erkennung) - Oben: Nacht • Unten: Tag

Diese Fluglärmereignisse sind auch manuell nicht ohne weiteres zu identifizieren, da es sich bei den Ereignissen um eine Mischung aus Fluglärm und anderen Lärmereignissen handelt. Dies ist mit ein Grund, weshalb in einzelnen Stunden zum Teil größere Abweichungen zwischen den Pegeln aus den drei Verfahren auftreten (Abb. 3). Da der Fluglärmpegel jedoch nicht auf Stundenbasis, sondern anhand eines Langzeitmittelungspegels über 6 Monate bestimmt wird, ist die automatische Erkennung geeignet, Fluglärmereignisse und deren Pegel zu ermitteln (Abb. 2).

Fazit

Bei dem Vergleich der vorgestellten Methoden sind nur geringe Abweichungen im Mittelungspegel zu beobachten. Betrachtet man den Pegel bei dem Vergleich der unterschiedlichen Methoden, so ergeben sich nur geringe Abweichungen beim Mittelungspegel. Allerdings gibt es eine größere Abweichung bei der Betrachtung der Anzahl der erkannten Ereignisse. Die Ursache für die Abweichung liegt maßgeblich an dem gleichzeitigen Auftreten verschiedener Geräuschklassen am Messort. Fluglärmernennung ist jedoch nur ein Beispiel für die Mustererkennung. Die Verfahren sollen nicht nur für Fluglärm, sondern auch für andere Geräushtypen (Straße, Bahn, Industrie etc.) eingesetzt werden.

Literatur

- [1] D. Hemmer, C. Pörschmann (2010). Testsystem zum Vergleich verschiedener Parameter zur Verbesserung der Erkennungsleistung bei der Flugzeuggeräuschidentifikation. In: Fortschritte der Akustik - DAGA 2010, DEGA e.V., D - Oldenburg, pp. 829-830